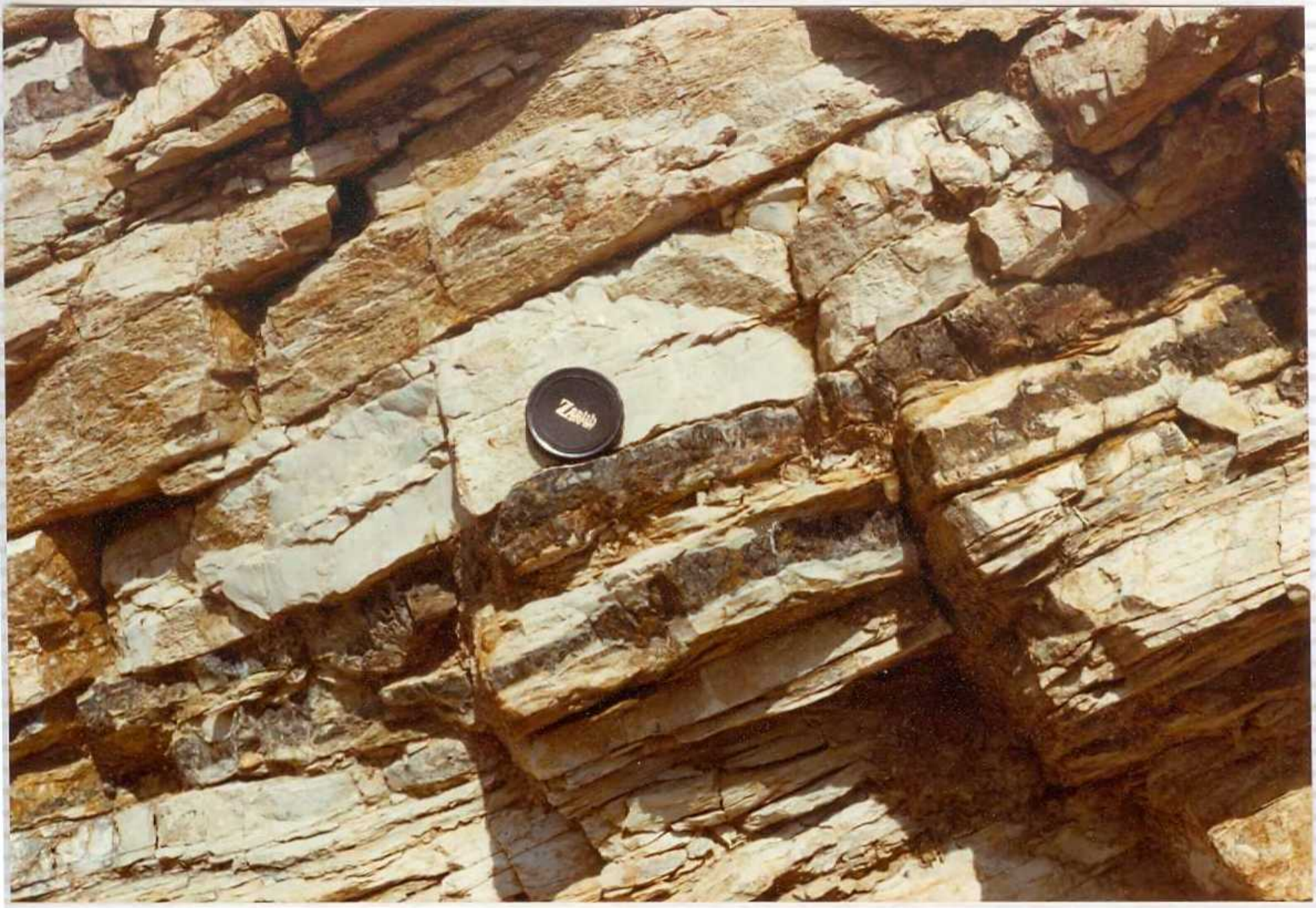


16/43-IB-FC-9401.- Conglomerado poligénico F. de Alozaina.



16/43-IB-FC-9402.- Hard ground Berriasense. Subbético Interno.



16/43-IB-FC-9403.- Margocalizas con silex cenomanenses. Subbético Interno.



16/43-IB-FC-9404.- Contacto Jurásico-Cretácico. Subbético Interno.



16/43-IB-FC-9405.- Discordancia entre el MIoceno-Jurásico.



16/43-IB-FC-9406.- Discordancia entre el MIoceno-Cretácico.



16/43-IB-FC-9407.- Fenómenos de slumping en materiales miocénicos.



16/43-IB-FC-9408.- Margocalizas del Albense. Subbético Interno.



16/43-IB-FC-9409.- Contacto Jurásico-Cretácico Superior al W del Ctjo Fuenfria.



16/43-IB-FC-9410.- Panorámica del Karst del Torcal de Antequera.



16/43-IB-FC-9411.- Tramos superiores del Jurásico. Subbético Interno.



16/43-IB-FC-9412.- Anticlinal de la Sierra del Valle de Abdalajis.



16/43-IB-FC-9413.- Secuencia Jurásica-Cretácica y flysch de Algeciras en el Cerro - del Gato.



16/43-IB-FC-9414.- Panorámica del Contacto entre conglomerados de Marbella-areniscas rojas - dolomias triásicas y Formación Alozaina.



16/43-IB-FC-9415.- Superficie estromatolítica del Berriasense. Subbético Interno. - Corte El Chorro.



16/43-IB-FN-9416.- Panorámica de El Chorro. Estratos jurásicos verticales y miocénicos a la izquierda.



16/43-IB-FC-9417.- Serie del Neocomiense. Complejo Maláguide.



16/43-IB-FC-9418.- Panorámica de la Formación de las Millanas-Viñuela.



16/43-IB-FC-9419.- Detalle de la Formación de las Millanas-Viñuela.



16/43-IB-FC-9420.- Dique de naturaleza ácida dentro de las peridotitas de S^{a} de Aguas.



16/43-IB-FC-9421.- Panorámica del Desfiladero de los Gaitanes (El Chorro) con materiales jurásicos y cretácicos del Subbético Interno.



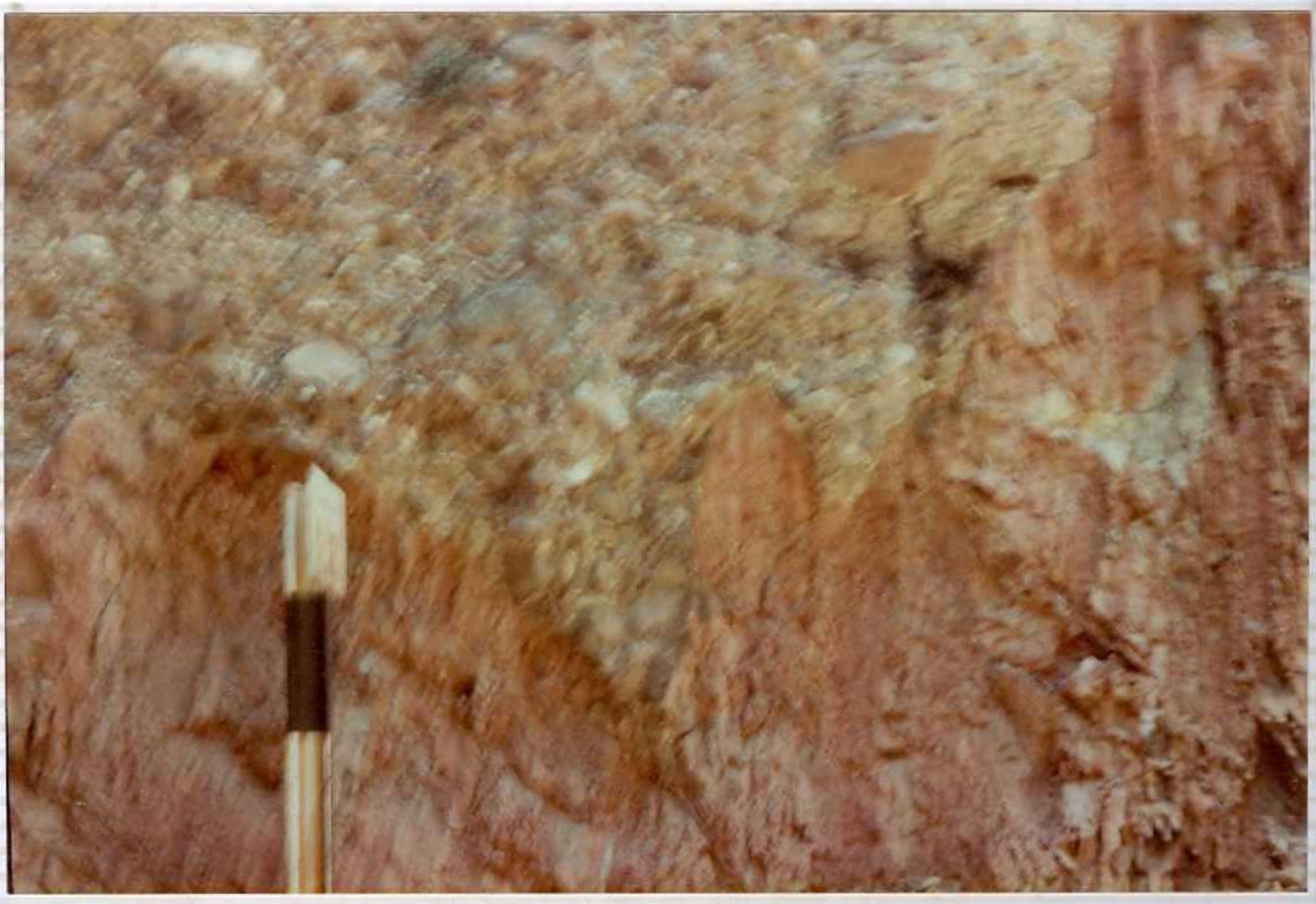
16/43-IB-FC-9422.- Brecha del Cerro Castillones en su terminación occidental.



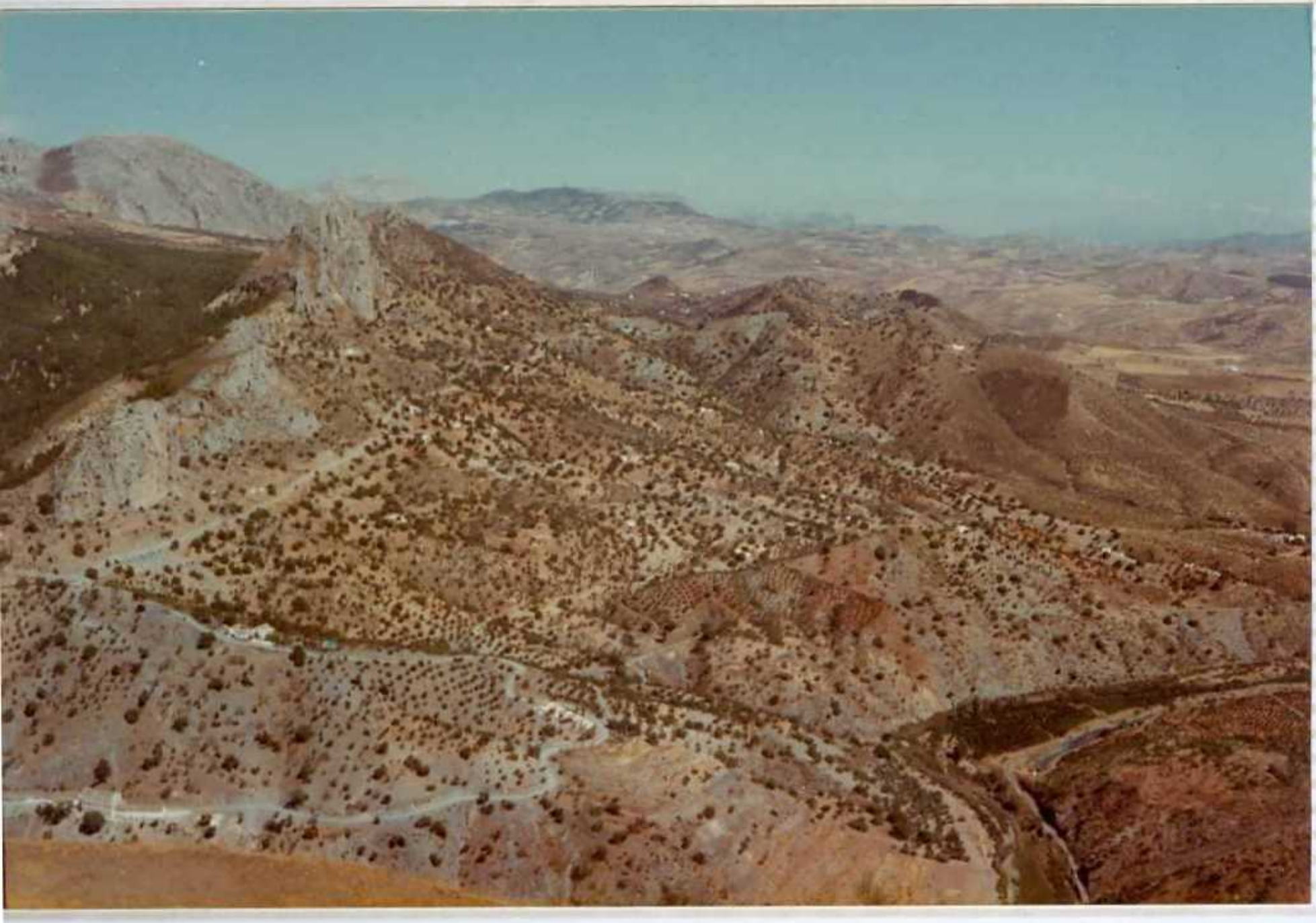
16/43-IB-FC-9423.- Sector de contacto entre Zonas Internas, a la derecha, con el Subbético Interno (izquierda).



16/43-IB-FC-9424.- Panorámica de Castillones y Sierra de Huma (fondo). Subbético -- Interno.



16/43-IB-FC-9425.- Espectacular discordancia entre materiales del Cretácico Superior y Mioceno.



16/43-IB-FC-9426.- Complejo Maláguide. Anticlinal de Veredón.



16/43-IB-FC-9427.- Discordancia Cretácico S. Mioceno.



16/43-IB-FC-9428.- Panorámica del Sector de Alora. Contacto Maláguide-Neonumídico y Valle del río Guadalhorce (centro).



16/43-IB-FC-9429.- Panorámica del flanco S del anticlinal de Veredón y contacto con materiales Neonumídicos.